

京都大学防災研究所 正員 村山 肇郎

1. はじめに 砂質土の応力・ヒステリシス特性を砂粒子の移動機構に基づいて確率論的に求めようとした試みの一例である。ここでは砂に載荷と除荷とを繰り返し、ついで残留ヒステリシスがみられる、たゞわゆる弾性状態にある砂の応力・ヒステリシス関係を求める。砂質土中には砂粒子は点々に点々と接觸している、粒子相互の活動接点に作用する力は、砂が乾燥であるのは飽和状態のものとは、その粒子に作用する外圧から生じる圧力と相互移動の抵抗すら摩擦力とからなる。

2. 砂粒子の活動 砂質土の軸圧縮 ($\sigma_1 > \sigma_2 = \sigma_3$, $\sigma_1, \sigma_2, \sigma_3$: 主応力) をうけたとき、土中に生ずる巨視的にみたせん断活動面 (mobilized surface) はその面に作用する垂直応力 σ とせん断応力 τ が $\tan^{-1}(\tau/\sigma)$ と最大になる面である。又これはこの活動面をなす $(\tau/\sigma)_{\max}$ 面が主応力面となる角度は $(45^\circ + \phi/2)$ (ここで ϕ : 砂の活動化された内部摩擦角) となり、 ϕ と主応力との関係は次式で与えられる。

$$\phi = \tan^{-1}(\tau/\sigma)_{\max} = \sin^{-1}\{(\sigma_1 - \sigma_3)/(\sigma_1 + \sigma_3)\} \quad (1)$$

$(\tau/\sigma)_{\max}$ 面は粒子が群として活動（相互移動）する面である。しかも個々の粒子は隣接粒子と接觸しつつその表面に沿って滑動するので、個々の粒子の移動は $(\tau/\sigma)_{\max}$ 面を平均値とする不規則な方向に動くこととなる。また各個の粒子の活動接点に作用する力を接点ごとに異なりまちまちである。いまある1個の粒子（たゞえば図-1の第2縦線とつけた粒）に注目すれば、この粒子の活動接点（この例では点A）にはA,B接点外の隣接粒子を通じて $(f_r)_c$ (ここに_cは個々の粒子を示す記号) をうける。力 $(f_r)_c$ が $(\tau/\sigma)_{\max}$ 面の法線となす角を $(\beta)_c$ とする。 τ が増大するにつれて $(\beta)_c$ が増加するので、点A,Bの接觸圧はそれにつれて減少し、ついで粒子は点Aのみと接して隣接粒子面上を滑動するにいたる。粒子の活動面の $(\tau/\sigma)_{\max}$ 面となす角度を $(\theta)_c$ とする。粒子間の摩擦角を一概に δ とすれば、粒子が相互に活動するための条件は、

$$(\beta)_c - \delta > (\theta)_c, \text{ または } (\theta)_c - (\beta)_c + \delta = 0 \quad (2)$$

砂粒子は、砂質土单位面積中にn個あるとし、各粒子上に σ による発生される力を $(f_n)_c$ 、 τ によると生ずる力を $(f_r)_c$ とする。また $\sigma/n = f_n$, $\tau/n = f_r$ とし、 f_n, f_r の方向はそれぞれ σ, τ の方向と一致するものとする。 f_n と f_r の合力が $(\tau/\sigma)_{\max}$ 面の法線となす角を β とすれば、(1)式より、

$$\beta = \tan^{-1}(f_r/f_n) = \tan^{-1}(\tau/\sigma)_{\max} = \phi \quad (3)$$

これが十分に大きくなれば、かつ砂質土の状態が均質であれば、 $(\beta)_c$ は β を中心に1/2の前後に均等に分布する（仮定）、も大差がないであろう。又 $(\beta)_c$ の平均値を β_c , $(\theta)_c$ の平均値を θ_c と

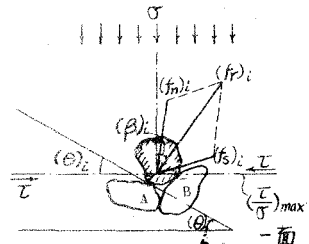


図-1

ある。すなはち β , θ は、

$$\beta = \sum^n (\beta)_i / n, \quad \theta = \sum^n (\theta)_i / n \quad (4)$$

いま変数 $(\beta)_i - \delta$, $(\theta)_i$ の分布をそれぞれ $P - \delta$, θ を平均値, P_1, P_2 を標準偏差とする正規確率分布関数 (N を示す) であらわされるとすれば、

$$f\{(\beta)_i - \delta\} = N\{(\beta - \delta), P_1^2\} \quad (5)$$

$$\varphi\{(\theta)_i\} = N(\theta, P_2^2) \quad (6)$$

ゆえに粒子の活動化する確率 P は、(5), (6) 式 = (2) 式の条件を入れて解き、次式を得る。

$$P = \int_{-\infty}^{-\alpha/P} \frac{1}{\sqrt{2\pi}} \exp\left(-\frac{t^2}{2}\right) dt = F\left(-\frac{\alpha}{P}\right) \quad (7)$$

$$\text{ここで}, \quad \alpha = \theta - \beta + \delta, \quad P = \sqrt{P_1^2 + P_2^2} \quad t = (y - \alpha)/P$$

砂質土に均等な圧力を加えたときの P と P_0 とすれば、 P_0 は(7)式 = $\beta = 0$ を代入して求められる。

弾性状態にある砂中の粒子の移動は、砂の変形挙動が可逆的であるから、活動接点の移動範囲は 1 粒子の間にあると考えられる。1 回の活動による移動距離を平均的にみて入とし、この活動が(γ/δ)_{MAX} 面にさう砂質土のせん断ヒズミ γ に寄与する値を $C\lambda/d$ (d : 粒子の平均粒径, C : 寄与係数) とすれば、砂質土に生ずる最大せん断ヒズミ γ は、

$$\gamma = \gamma_0 / \cos \beta = A \cdot N \cdot (P - P_0), \quad A = C\lambda / \delta \quad (8)$$

3. 砂質土の応力・変形特性

(7) 式で示された正規分布関数の累積分布曲線 P は、これは計算の便宜から次式の P_A で示される正弦曲線で近似させたが、両曲線の近似度は図-2 に示すようである。

$$P = F(-\alpha/P) \approx \frac{1}{2} + \frac{1}{2} \sin\left(\frac{-\alpha}{2}\right) \equiv P_A \quad (9)$$

さらに主応力比から決定される P は T_{oct}/σ_m (T_{oct} : 八面体応力で示したせん断応力, σ_m : 平均主応力) で示すように、(8)式と途中で若干の近似を行って計算すると、 γ は次式となる。

$$\gamma = A \cdot \cos\left(\frac{\theta + \delta}{2}\right) \cdot \frac{T_{oct}}{\sigma_m} \quad (10)$$

(10)式から知られるように、 γ は (T_{oct}/σ_m) に正比例して増加するが、これは既報の実験結果ともよく一致する。これより砂質土の剛性率 G_m は比例するといふとなる。また θ は砂粒子が活動する際、 δ は抗り上昇する斜面の傾斜角であり、 δ は粒子間の表面摩擦角であるから、 $(\theta + \delta)$ は砂のせん断変形に抵抗するみかけの内部抵抗を示す。砂粒子がかたくなり合ひほど θ は大きくなるから、よく締固められた砂ほど θ は大きい。 $\cos(\theta + \delta/2)$ は $(\theta + \delta)$ が増加するほど減少するから、(10)式は示すところ、せん断ヒズミ γ は $(\theta + \delta)$ とともに減少する。

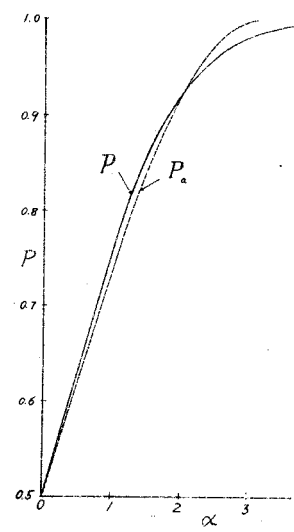


図-2